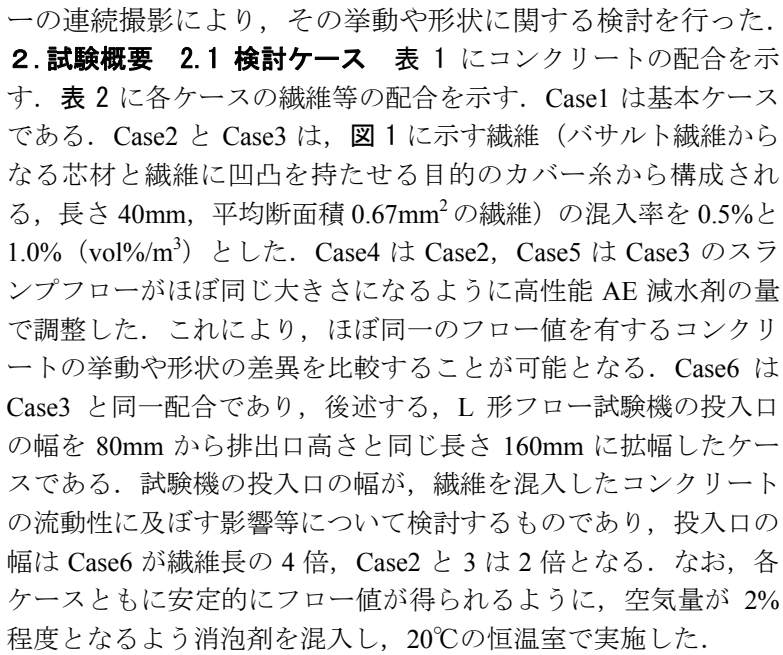
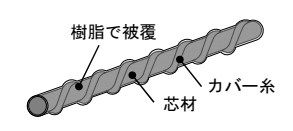
## バサルト繊維を用いた短繊維補強コンクリートの流動性に関する基礎的検討

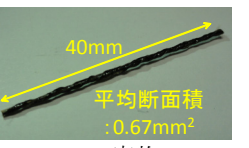
鉄道総合技術研究所 正会員 〇仁平 達也 正会員 田中 章 戸田建設 正会員 田中 徹 正会員 田中 孝

1.はじめに 著者らは、バサルト繊維を用いた短繊維補強コンクリートの開発を行っている。本研究では、繊維の混入がコンクリートの流動性に及ぼす基礎的な検討を行った。具体的には、スランプフローが 650mm 程度のコンクリートに開発した繊維を混入し、可視化したL形フロー試験機を用いたLフローの連続撮影により、その挙動や形状に関する検討を行った。



- **2.2 スランプフロー試験** スランプフロー試験は、JIS A 1150 に 準じて実施した. 練混ぜは 2 軸式のコンクリートミキサー(可能 混練容量:  $0.055 \,\mathrm{m}^3$ 、羽根回転数:  $62 \,\mathrm{el}/\mathrm{O}$ )を用いた. スランプフロー試験はミキサーから排出後  $2 \,\mathrm{O}$ 程度で開始し、引き続いて、粗骨材を除去したモルタルを用いて 0 打モルタルフロー試験を実施した. これは、JIS R 5201 のモルタルフロー試験と同様の手順で行い、 $15 \,\mathrm{el}$  回の落下を行わずコーンの引き上げ時の試料の自重で崩れたモルタルが拡がった直径を測定する方法  $^{11}$  である.
- 2.3 L形フロー試験 L形フロー試験は、JSCE-F 514-2010 に示された、コンクリートの流動性の確認試験方法である。図 2 に示すように、側面にアクリル板を配し、可視化した L 形フロー試験機を製作し、仕切りゲートを開いてからフロー停止までの挙動を連続撮影した。図 3 に測定方法を示す。側面にスタンドライトを設置し、連続撮影による光量不足を補った。表 2 と同一の試料を用いて、ミキサーから排出後 3 分程度で試験を開始した。
- **3. 試験結果** 表 3 にスランプフロー試験結果を示す. Case1 は 650mm 程度, Case2 は 550mm 程度 (スランプ値 24cm), Case3 は





a)繊維の概要

b)実物

図1 使用した繊維

表1 コンクリートの配合

W/C	s/a	単位量(kg/m³)				
(%)	(%)	W	C	S	G	
30	60	175	583	966	660	

※粗骨材最大寸法: 20mm

表 2 各ケースの配合(繊維, 高性能 AE 減水剤量)

Ca se	繊維 混入率 (vol%/m³)	高性能 AE 減水剤 (C×%)	空 気 量 (%)	備考
1	_	0.85	1.6	基本ケース
2	0.5	0.85	1.5	Case1 とコンク
3	1.0	0.85	1.5	リートは同配合
4	_	0.75	1.7	Case2 のフロー 程度
5	1	0.675	2.3	Case3 のフロー 程度
6	1.0	0.85	1.3	Case3 と同配合 (2.3 参照)

※繊維:無機繊維(繊維長 40mm)

※高性能 AE 減水剤: HP-11 (竹本油脂(株)製)

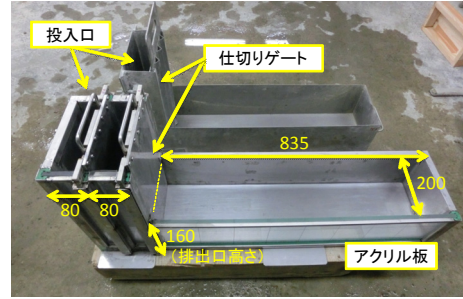


図2 L形フロー試験機(単位 mm) (手前:製作した試験機, 奥:一般的な試験機)



図3 測定方法

450mm 程度(スランプ値 21.5cm)となり、繊維の混入によりスランプフロー値が小さくなった。 Case2 と 3 は、スランプフロー値がほぼ同一の Case4 と 5 と比べフロー到達時間が長くなった。 0 打モルタルフロー値は Case1 に比べ、 Case4 と 5 が小さくなった。

図4にL形フロー試験の実施状況の例を示す.表4にL形フロー試験結果を示す.スランプフロー値がほぼ同一の Case2 と 4、Case3 と 5 は最大Lフロー値がほぼ同一となった.図5に最大Lフロー時の形状を示す.粗骨材は無視しモルタルでの測定を行った.各ケースともに、Case1 と比べフローの形状が変化し、仕切りゲート

キーワード 短繊維補強コンクリート,流動性,L形フロー試験,スランプフロー

連絡先 〒185-0034 東京都国分寺市光町 2-8-38 (公財) 鉄道総合技術研究所 TEL: 042-573-7281

表3 スランプフロー試験結果

<b>ひ</b> バランファロ					
	スランプ	フロー		スランプ	0 打モルタ
Case	フロー	到達時間(sec)		高さ	ルフロー
	(mm)	50cm	停止	(cm)	(mm)
1	678×667	7.1	42.6	_	265×260
2	550×542	13.9	37.3	24.0	(Case1)
3	464×443	_	34.9	21.5	(Case1)
4	539×538	9.8	23.1	23.0	185×171
5	440×436	-	13.8	24.0	146×146
6	464×458		45.5	21.0	(Case1)

表4 L形フロー試験結果

Case	最大 Lフロー (mm)	停止 時間 (sec)	沈下量 (mm)	速度 P1 (mm/sec)	速度 P2 (mm/sec)
1	795	57.5	340	111	112
2	564	36.0	320	54	60
3	400	34.3	300	28	32
4	584	32.0	310	76	77
5	365	19.3	280	63	62
6	720	46.9	280	48	47

※最大 L フロー: L フロー停止時のフロー長さ ※P1: 仕切りゲート位置から 300mm-800mm の速度 ※P2: 仕切りゲート位置から 300mm-1300mm の速度

付近の高さが高くなった. Case2 は Case4 よりもフロー先端付近が高くなり, Case3 は Case5 よりもフロー全体が高くなる傾向がみられた. 図 6 に L フローの到達時間を示す. L フロー値がほぼ同一の場合, 繊維を混入したコンクリートのほうが同一距離への到達時間が増加した. これらは,表3のスランプフローと同様であった.

図7に Case2~Case5 のLフロー先端の速度を示す. Case2 と 4, Case3 と 5 を比較すると, 表 3 の 0 打モルタルフローより, 繊維を混入したコンクリートのほうが, モルタル自体の流動性は高いにも関わらず, 同一距離到達時の速度が遅くなった. これは, 表 4 の別途センサーで計測した結果(速度 P1 と P2)と同様であった. 特に仕切りゲートから近い距離での速度の差が大きくなった. 繊維の混入により Lフローは, ほぼ同一のスランプフローを有する繊維のないコンクリートと比べ, 試料がより一体となって徐々に拡がる挙動となることが分かった. これらより, L フローがほぼ同一でも, 形状や挙動が異なり, より一体となって徐々に拡がる挙動を示した.

Case6 は Case3 と比べ、図 6 に示すように、L フローの同一距離への到達時間が短く、最大 L フローの到達距離が 1.8 倍程度となった. これは、投入口が 2 倍となり容積が増加し、排出時に作用する力が大きくなったこと等に起因する. なお、目視において、試験終了後の Case6 と3の繊維の配向に明らかな差異は確認されなかった.

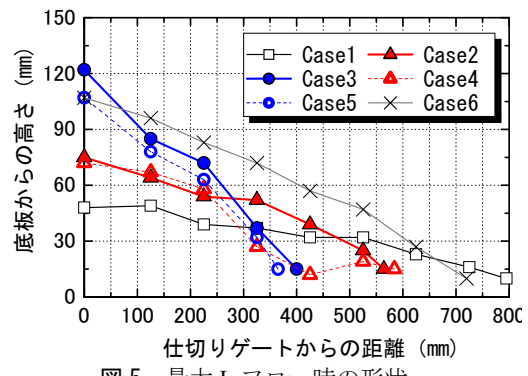
今後,他の短繊維でも同様の試験を行い,繊維の材質や形状等が L フローの形状や挙動に及ぼす影響について検討する。また,ビン ガム流体を仮定した流動性解析により,短繊維補強コンクリートの 流動性を把握し,施工性等について検討する予定である.

- **4. まとめ** ・可視化した L 形フロー試験機を製作し、L フローを連続撮影することで、その挙動を把握した.
- ・スランプフローが 650mm 程度のコンクリートに, バサルト繊維からなる短繊維を混入すると, L フローは, ほぼ同一のフロー値を有する繊維のないコンクリートと比べ, 形状や挙動が異なり, より一体となって徐々に拡がる挙動を示した.





**図4** L 形フロー試験の実施状況の例 (上: Case1, 下: Case2)



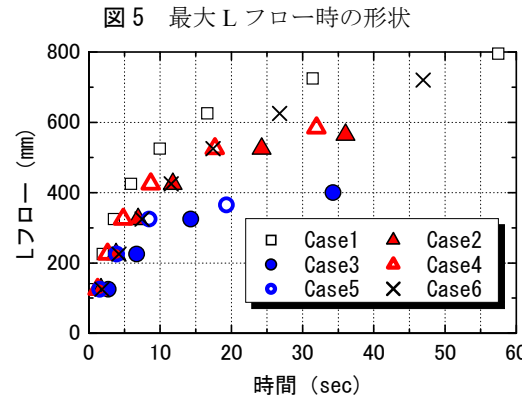


図6 Lフローの到達時間

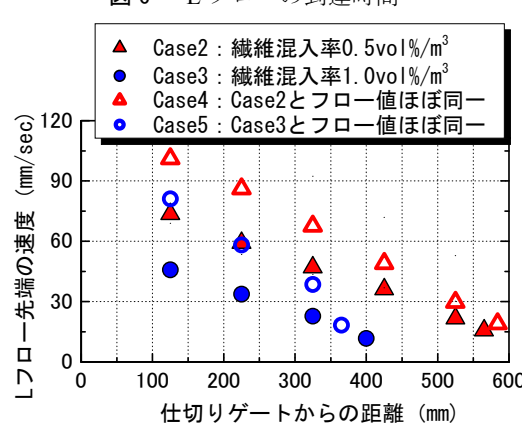


図7 Lフローの先端の速度 (Case2~Case5)

**参考文献**:1)渡辺健治,小野博宣,谷川恭雄:フレッシュモルタルのレオロジー性質におよぼす再撹拌の影響,コンクリート工学年次論文集,Vol.22, No.2, pp.427-432, 2000.7

謝辞:本試験において、竹本油脂(株)の青山晴洋氏、原田健二氏には多大なご協力を頂きました.厚く謝意を表します.